

鹿児島大学 工学部 正会員 佐藤道郎

1. まえがき

海流や平均水位の変化などの波の存在によって生じる *nearshore zone* 特有のさまざまな水理現象の把握には、この領域での波高分布の推定が重要である。特に碎波後の波の波高変化の推定は難しい内容を含む問題であるが、碎波限界を越える波は存在せず余分なエネルギーを碎波によって放出するという観点に立てば、エネルギーの逸散過程にそれほど立ち入らなくても簡単に碎波条件を用いて波高を見積ることができ、この考えが多くとられてきた。だが、一方、碎波後の波の減衰機構を明らかにして波エネルギー逸散量を見積り、波高変化を求めようという観点からの努力もされてきた。そこで考慮されているのは碎波によって生じる乱れや底面摩擦によるエネルギー逸散が主で、さらに空気混入の影響なども検討されてきた。碎波後の波の減衰においてこれらはおそらく主要なものであろう。だが、もしそのような機構で碎波帯での波エネルギーの殆どが逸散されてしまうものとすると *wave setup* や、ひいては海流のエネルギーの source は一体何なのかという素朴な疑問につき当る。それらの現象の解析には質量と運動量の保存方程式が用いられるため見遁されやすい点かもしれないが、波の存在下での現象であれば碎波帯の波エネルギーか前述のような機構で逸散されるばかりではなく、平均運動のエネルギーに変換される部分があると考えられるはずである。

ところで著者はかつて粘性や乱れによる波エネルギー逸散が無い場合でも *wave setup* のような平均水面の勾配があると波エネルギーの変化が生じ得ることを指摘したことがある。これは波エネルギーの一部が波の伝播する場のポテンシャルエネルギーに変換されることによるものと考えることができる。

そこで本文では *wave setup* による平均水面勾配の存在が碎波帯の波の波高変化に対してどの程度の

役割を果しているかという点についての概観を得るために大きな検討を加えてみた。

2. 平均水面が勾配をもつときの波エネルギーの変化

平均水面に勾配があるとき波エネルギーがどうなるかという点を簡単に考察してみよう。図1に示すように A 点で波高が H であった波が B 点まで進み、もし B 点でも波高が変わらずに H であったとすると B 点は A 点より平均水面が高いから A 点と同じ高さの基準線からポテンシャルエネルギーを測れば B 点では A 点よりも大きなエネルギーを有することになる。したがって、A から B に至る過程でエネルギーの補給が無ければ同じ波高ということはあり得ず、この場合には B の方が波高が小さくなるはずである。しかし、この波高の減少は粘性等による非可逆的な逸散によるものではなく、逆に B から A に進む場合には波高が大きくなることになる。

ところで波のエネルギー密度は $E = (1/8) \rho g H^2$ で、これは Kinsman の表現を借りれば

$$E = (\rho g H) \cdot \left(\frac{1}{8} H\right)$$

としてみると 単位水面積当たりの波エネルギーはその単位水面積をおおう厚さ H の水のシートを $\frac{1}{8} H$ に等しい高さだけ持ちあげる際の仕事に等しい。一方、碎波帯では *wave setup* により岸近くで碎波高の 25% 程度まで平均水面が高くなることを合わせ考えると碎波後の波高変化に この水面勾配の影響も無視し難いことが考えられる。

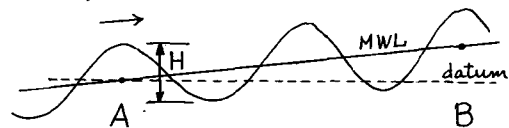


図 1

3. 計算およびその結果

図2に示すような一様勾配海浜で碎波後の波を考える。底面摩擦や乱れによるエネルギー逸散は考えず、wave setupについては無視し、質量輸送変化を補償する流れも含め定常流も無視する。定常状態を考え、wave setupは本来はエネルギー方程式と運動量方程式とを連立させて求めねばべきであるが、従来より知られている表現を用い、そのような勾配をもった水面を波が伝播する場合の水面勾配の効果のみを考えることとする。波は簡単に微小振幅波理論を用いる。

波のエネルギー式はこのとき次で表される。

$$(1) \frac{d}{dx} (E C_g) = -g M \frac{d\bar{s}}{dx}$$

$$(2) \bar{s} = K(h_b - h) + s_b$$

$$(3) K = \frac{1}{1 + 8/(3\delta^2)}$$

$$(4) M = \rho \int_{-h}^h u dz = \frac{E}{C}$$

$$(5) h = h_b - \tan \beta \cdot x$$

(2) より

$$(6) \frac{d\bar{s}}{dx} = -K \frac{dh}{dx} = K \cdot \tan \beta$$

これを(1)に代入して

$$(7) \frac{d}{dx} (E C_g) = -g K \tan \beta \cdot \frac{E}{C}$$

$C = C_g = \sqrt{gh}$ として 上式を解くと最終的に次の関係を得る。

$$(8) \frac{H}{H_b} = \left(\frac{h}{h_b}\right)^{-\frac{1}{4}} \left(\frac{h}{h_b}\right)^{\frac{1}{2}}$$

$(h/h_b)^{-\frac{1}{4}}$ は浅水変形による波高変化を表し、通常 K_s (浅水係数) で表されるものである。 $(h/h_b)^{\frac{1}{2}}$ が、平均水面に勾配があることによって生ずるものである。 $\gamma = 0.73$ として $K = 0.167$ としたときの $(h/h_b)^{\frac{1}{2}}$ を示すと図3のようになる。図中にはこれまでに報告されている碎波後の波高変化に関する結果も示した。平均水位の存在が碎波後の波高変化を決める決定的な因子ではないが、これを無視した場合には乱れや底面摩擦、とくに前者によるエネルギー損失を充分考慮してしまってか考えられる。

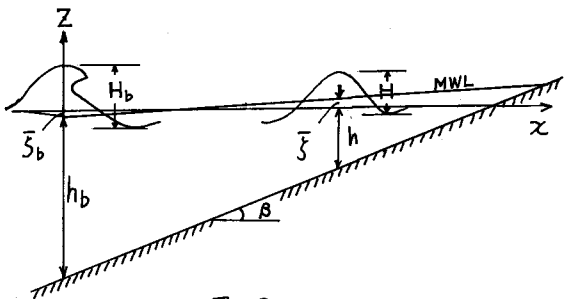


図 2.

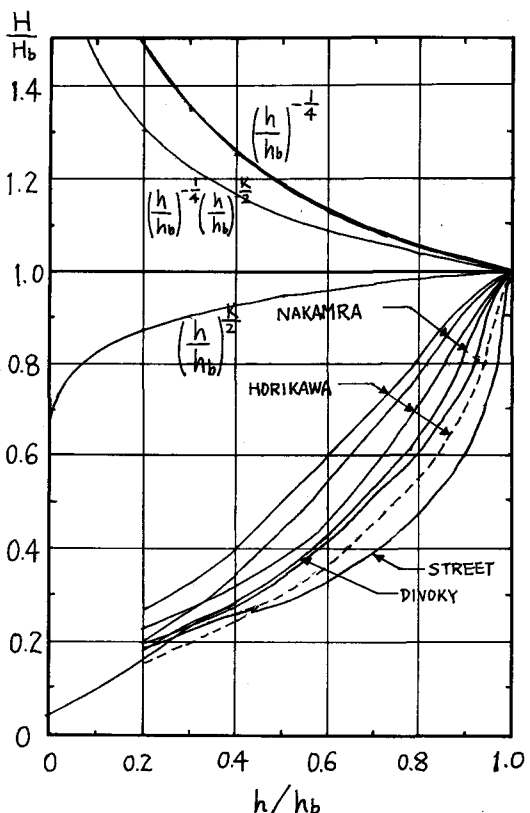


図 3.

(参考文献)

佐藤道郎：不等流を導く波の波高変化に関する基礎的研究、土木学会論文報告集、第242号、1975.10. pp. 15~29.

Kinsman, B : Wind Waves, Prentice-Hall, 1965. pp. 150